

## الفصل الخامس

### نواة الأيونات

#### The Hydrogen Atom

من الأسباب أن تعاين نواة الأيونات والشبيه بالأيونات، مثل  $\text{Li}^+$ ,  $\text{He}^+$  مثلاً معاً. حيث أنهم يختلفون فقط في شحنتها أي في طاقة الوضع للإلكترون في الشبيه بالأيونات قد تناول في الفصل الخامس، حيث يمكن أن تبين هنا على هذا الشكل:

$$V = -\frac{Ze^2}{4\pi\epsilon_0 r} \quad -1$$

حيث ( $r$ ) مسافة الإلكترون من النواة في أي اتجاه، ( $z$ ) العدد الذري، ( $e$ ) الشحنة الإلكترونية.

معادلة شرودنجر لهذا النظام يمكن أن تأخذ الشكل :-

$$\nabla^2 \Psi + \frac{8\pi^2 m}{h^2} \left( E + \frac{Ze^2}{4\pi\epsilon_0 r} \right) \Psi = 0 \quad -2$$

بوضوح الكتلة المختزلة للنواة والإلكترون يجب أن يستخدم بدلاً من ( $m$ ), كتلة الإلكترون. حيث النواة تعتبر كجسم صخム، على أي حال، بأنه لا يوجد مغنى الفرق بين هاتين الكميتين كما وضع معامل لابلس إحداثيات الدائرة القطبية الدائرية للمعادلة (2) لتأخذ الشكل:

$$\frac{1}{r^2} \frac{\partial}{\partial r} \left( r^2 \frac{\partial \Psi}{\partial r} \right) + \frac{1}{r^2 \sin \theta} \frac{1}{\partial \theta} \left( \sin \theta \frac{\partial \Psi}{\partial \theta} \right) + \frac{1}{r^2 \sin^2 \theta} \frac{\partial^2 \Psi}{\partial \phi^2} + \frac{8\pi^2 m}{h^2} \left( E + \frac{Ze^2}{4\pi\epsilon_0 r} \right) \Psi = 0 \quad -3$$

كما أن أول الترميم للتعبير لمعامل لابلس، والترم الأول في المعادلة (1) في الفصل السابع يمكن أن يوجد كما يلى :-

$$\frac{1}{r^2} \frac{\partial}{\partial r} \left( r^2 \frac{\partial \Psi}{\partial r} \right) = \frac{1}{r^2} \left( r^2 \frac{\partial^2 \Psi}{\partial r^2} + 2r \frac{\partial \Psi}{\partial r} \right) = \frac{\partial^2 \Psi}{\partial r^2} + \frac{2}{r} \frac{\partial \Psi}{\partial r}$$

وطريقة الحل للمعادلة (3) تعتبر مشابهة لذك المستخدمة في الدوار المشدود، ولكن في هذه الحالة ( $r$ ) تعتبر متغيره ولهذا يجب الإشارة إليها كدالة للثلاث متغيرات ( $r, \theta, \varphi$ ) ومن المفروض مبدنياً أن المتغيرات يمكن فصلها وأن ( $\psi$ ) ربما تشير كناتج للثلاث دوال، كل واحدة تكون دالة واحدة فقط للمتغيرات. وقد فرض بسبب ذلك، أن :

$$\psi(r, \theta, \varphi) = R(r) \cdot T(\theta) \cdot F(\varphi) \quad - 4$$

حيث أن ( $R$ ) دالة فقط لـ ( $r$ ),  $T$  تكون دالة فقط لـ ( $\theta$ ) و  $F$  دالة فقط لـ ( $\varphi$ ). المعادلة (4) يمكن أن تكتب بأكثر بساطة مثلاً.

$$\psi = R T F$$

استبدل ( $\psi$ ) في المعادلة (3) ثم بعد ذلك بالقسمة من خلالها وذلك بالمقدار RTF

لتعطى:

$$\frac{1}{r^2 R} \frac{d}{dr} \left( r^2 \frac{dR}{dr} \right) + \frac{1}{r^2 \sin \theta} \frac{1}{T} \frac{d}{d\theta} \left( \sin \theta \frac{dT}{d\theta} \right) + \frac{1}{r^2 \sin^2 \theta} \frac{1}{F} \frac{d^2 F}{d\varphi^2} + \frac{8\pi^2 m}{h^2} \left( E + \frac{Ze^2}{4\pi\epsilon_0 r} \right) = 0$$

بالضرب بالمقدار ( $r^2 \sin^2 \theta$ ) ثم بالتعديل :

$$\frac{\sin^2 \theta}{R} \frac{d}{dr} \left( r^2 \frac{dR}{dr} \right) + \frac{\sin \theta}{T} \frac{d}{d\theta} \left( \sin \theta \frac{dT}{d\theta} \right) + \frac{8\pi^2 m}{h^2} \left( E + \frac{Ze^2}{4\pi\epsilon_0 r} \right) r^2 \sin^2 \theta = - \frac{1}{F} \frac{d^2 F}{d\varphi^2} \quad - 6$$

الجاتب الأيمن من المعادلة (6) يحتوى فقط على متغير واحد ثم بعد ذلك المعادلة يجب أن تحتوى لكل القيم  $r, \theta, \varphi$ ، وكل جاتب للمعادلة يعتبر ثابت. ثم بين هذا الثابت بالمقدار ( $m^2$ ) وبخصوص كل جاتب للمعادلة (6) لكي تكتب على هذه الصورة :

$$\frac{1}{F} \frac{d^2 F}{d\varphi^2} = - m^2 \quad - 7$$

وا

$$\frac{\sin^2 \theta}{R} \frac{d}{dr} \left( r^2 \frac{dR}{dr} \right) + \frac{\sin \theta}{T} \frac{d}{d\theta} \left( \sin \theta \frac{dT}{d\theta} \right) + \frac{8\pi^2 m}{h^2} \left( E + \frac{Ze^2}{4\pi\epsilon_0 r} \right) r^2 \sin^2 \theta = m^2 \quad - 8$$

والمعادلة الأخيرة مازالت تحتوى على اثنين من المتغيرات، ولكن يمكن أن نفصل ذلك بقسمة المعادلة بالحد  $\sin^2\theta$  ثم بالتعديل لتعطى العلاقة : -

$$\frac{1}{R} \frac{d}{dr} \left( r^2 \frac{dR}{dr} \right) + \frac{8\pi^2 m}{h^2} \left( E + \frac{Ze^2}{4\pi\epsilon_0 r} \right) r^2 = \frac{m^2}{\sin^2\theta} - \frac{1}{T \sin^2\theta} \frac{d}{d\theta} \left( \sin\theta \frac{dT}{d\theta} \right) - 9$$

كل جانب من المعادلة يحتوى واحد متغير فقط. لأن المعادلة يجب أن يحتوى لكل القيم  $r$ ,  $\theta$ , وكل جانب للمعادلة يجب أن يكون ثابت القيمة. مبيناً لهذا الثابت بواسطة ( $\beta$ ) لكي تكتب كما يلى : -

$$\frac{m^2}{\sin^2\theta} - \frac{1}{T \sin^2\theta} \frac{d}{d\theta} \left( \sin\theta \frac{dT}{d\theta} \right) = \beta \quad -10$$

$$\frac{1}{R} \frac{d}{dr} \left( r^2 \frac{dR}{dr} \right) + \frac{8\pi^2 m}{h^2} \left( E + \frac{Ze^2}{4\pi\epsilon_0 r} \right) r^2 = \beta \quad -11$$

ومن هنا من الممكن فصل المتغيرات الثلاث فى المعادلة (3) لتكتب الفصائل الثلاث فى المعادلات (7, 10, 11)، لكل متغير. الإفتراض الأصلى المعتبر عنه فى المعادلة (4) تكون إذا كافية والمسألة قد تختزل لحل الثلاث معادلات المنفصلة. هذه المعادلات يمكن أن تكتب على النحو التالى:-

$$\frac{1}{F} \frac{d^2F}{d\phi^2} = -m^2 \quad -12$$

$$\frac{1}{\sin\theta} \frac{d}{d\theta} \left( \sin\theta \frac{dT}{d\theta} \right) + \left( \beta - \frac{m^2}{\sin^2\theta} \right) T = 0 \quad -13$$

$$\frac{1}{r^2} \frac{d}{dr} \left( r^2 \frac{dR}{dr} \right) + \left[ \frac{8\pi^2 m}{h^2} \left( E + \frac{Ze^2}{4\pi\epsilon_0 r} \right) - \frac{\beta}{r^2} \right] R = 0 \quad -14$$

والمعادلات (14), (13), (12) يمكن التعبير عنهم على التوالى بالدولال  $R$ ,  $T$ ,  $F$ .

### The F equation : المعادلة F

المعادلة ( $F$ ) تعتبر هي نفس المعادلة التي كانت محسوبة فى مسألة الدوار المعادلة (20) فى الفصل الثامن، وكلاهما يكوتا، بالطبع، نفس المعادلة للجسم على الحلقة (المعادلة 6 فى الفصل السابع). والحلول للمعادلة ( $F$ ) فى سياق هذا الكلام بسبب ذلك هى نفسها بالنسبة لمعادلة  $F$  فى الدوار المشدود والمعادلة للجسم على الحلقة. هذه الحلول

يمكن التعبير عنها في الدوال المثلثية أو في الشكل الأسني المعقد. ويمكن أن تعيد من الدراسة القائمة على الجسم على الحلقة أن الموضع المهم في العزم الزاوي للجسم، سيكون حد الأسس المعقد الذي يعتبر مناسباً. ولنا أن نرى فيما بعد أن عدد الكم المشتق من المعادلة (F) المصاحبة لتركيبة العزم الزاوي للإلكترون في نر الأيدروجين. ولهذا فمن المناسب بالنسبة للزمن الموجود للارم، لإيجاد الحل للمعادلة (F) في جزئية الأسس المعقد، فربما يكون الحل هكذا :-

$$F = \frac{1}{\sqrt{2\pi}} e^{im\phi} \quad - 15$$

حيث

$$m = 0, \pm 1, \pm 2, \pm 3 \quad - 16$$

### The T equation : المعادلة T

مرة أخرى تكون المعادلة T هي نفس الشكل مثلاً في المعادلة T والخاصة في الدوار المشدود (المعادلة 29) في الفصل الثامن، وكذلك نفس طريقة الحل والشكل. هذه الحلول ستدخل عدد الكم (m)، وعدد الكم الإضافي والتي قد نرمز له بالرمز () في حالة الحركة الإلكترونية مثلاً توازن بالنسبة للطيف الدوراني. فعدد الكم () إذا يكون منطبق للكمية  $\beta$  في المعادلة (13) بالعلاقة:

$$\beta = \ell(\ell + 1) \quad - 17$$

والعدد المسموح به للحد ( $\ell$ ) يعطى بالعلاقة :

$$\ell = 0, 1, 2, 3 \quad - 18$$

وكذلك يوجد علامة على ذلك قيد أن :-

$$|m| \leq 1 \quad - 19$$

### The R equation: المعادلة R

من حل المعادلة (R) سوف يتولد لدينا عدد كم آخر (n)، حيث يأخذ العلاقة مع عدد الكم (). ولكن القول أن المعادلة (R) المعادلة (14) تحتوى الكميات  $\beta$  والتي تعطى بالمعادلة (17). عدد الكم () والذي سوف يدخل في الحل للمعادلة (R). وحل المعادلة (R)

عبارة عن دالة والتى تعرف بمتعدد الحدود للاجویر Laguerre polynimial واعتبر هذه الدالة التى سوف نشرح العلاقة بين عدد الکم (n)، (k).

ومتعدد الحدود للاجویر (k) فى المتغير (q) يمكن الإشارة إليه مثل (q)<sup>k</sup> L<sub>(k)</sub> ونحصل عليها بتفاضل التعبير  $q^k e^{-q}$ ، حيث (k) الزمن، ثم بضرب الناتج بالمقدار  $e^{-q}$  إذا :-

$$L_{(k)}(q) = e^{-q} \cdot \frac{d^k (q^k e^{-q})}{dq^k} \quad - 20$$

فمثلاً نحصل على متعدد الحدود للاجویر المرافق بواسطة تفاضل المقابل لمضروب متعدد الحدود للاجویر (s). بينما متعدد الحدود للاجویر المرافق بواسطة (q)<sup>s</sup> L<sub>(s)</sub> إذا :-

$$L_{(s)}(q) = \frac{d^s L_{(k)}(q)}{dq^s} \quad - 21$$

من المناقشة السابقة سوف نقرر أن كلاً من (k) ، (s) مطلوبين ليكونا عدد صحيح موجب بعد ذلك كل منها يبيّن عدد عمليات التفاضل. والعدد (k) ربما يأخذ صفر عندما L<sub>(0)</sub>(q)=1. فمن المعادلة (20) فلتنا نرى أن أعلى أس للرمز (q) فى متعدد الحدود L<sub>(k)</sub>(q) هو  $q^k$ . وبتفاضل  $L_{(k)}(q)$  (s) لعدد من المرات تختزل أعلى أس للحد إلى  $q^{k-s}$  ولهذا فإن لو  $K > S$ ، فسوف يتلاشى متعدد الحدود (q)<sup>S</sup> L<sub>(K)</sub><sup>S</sup>. والقيمة (s) يجب أن تكون أقل من أو تساوى (k)، ولهذا التقييد على القيمة (k) ، (s) يجب أن تكون :

$$k = 0, 1, 2, 3 \quad - 22$$

$$S \leq k \quad - 23$$

في الحل للمعادلة (R) المصاحب لمتعدد الحدود للاجویر Laguerre يأخذ الشكل:

$$L_{n+1}^{2\ell+1} \left( \frac{2zr}{na_0} \right)$$

حيث ( $a_0$ ) تعطى بواسطة

$$a_0 = \frac{(4\pi\varepsilon_0)h^2}{4\pi^2 me^2}$$

وفي الحقيقة يكون مساوياً لنصف قطر نرة بوهر.

ثم بعد ذلك  $(l+1)$  تقابل للرمز  $(s)$  في المعادلة  $(21)$  ،  $(n+1)$  تقابل الحد  $(k)$  وهو في المعادلة  $(23)$  شريطة العلاقة بين  $(l, n)$  على النحو التالي :

$$(2l+1) \leq n+1$$

or  $l \leq (n-1)$  - 24

ثم أقل قيمة من حيث أن  $(l)$  يمكن تأخذها هي صفر، ولنتبعد من المعادلة  $(24)$  أن أقل قيمة للمقدار  $(n)$  يكون الوحدة، ولهذا فالقيمة المسموحة بها للحد  $(n)$  تعطى بالعلاقة :

$$n = 1, 2, 3, 4, \dots \quad - 25$$

### The energy levels

مستويات الطاقة :

في المعادلات الثلاث السابقة لكل من  $R, F, T$ . مجموع الطاقة الكلية ( $E$ ) يظهر في المعادلة  $(R)$   $(14)$ . عدد الكم ( $n$ ) والذى يظهر فى متعدد الحدود للأجوير المصاحب associated Laguerre polynomials حيث يكون الحل للمعادلة  $(R)$  المتعلق للطاقة الكلية  $E$ . المعادلة  $R$  الكلية ترينا أن مصاحب متعدد الحدود للأجوير تكون الحل شريطة أن:-

$$n^2 = -\frac{2\pi^2 Z^2 me^4}{(4\pi\epsilon_0)^2 h^2 E}$$

ومن هذا

$$E = -\frac{2n^2 Z^2 e^4 m}{(4\pi\epsilon_0)^2 n^2 h^2} \quad - 26$$

الطاقة لذرة الأيدروجين تكون إذا مكمله ويعتمد على عدد الكم ( $n$ ) والذى يعرف بعد الكم الأساسى. وأعداد الكم الأخرى  $(m, l)$  اللذان يعرفان بعدد الكم الثانوى، عدد الكم المغناطيسى Principal quantum, Magnetic quantum number، Azimuthal quantum على التوالى. القيم الممكنة لكل أعداد الكم الثلاثة، يمكن تحديدها كما يلى :-

$$n = 1, 2, 3, 4, \dots \quad - 27$$

$$l = 0, 1, 2, 3, \dots, (m-1) \quad - 28$$

$$m = 0, \pm 1, \pm 2, \pm 3, \dots, \pm l \quad - 29$$

وخصائص الحالة المستقلة للذررة تتطلب خصائص القيم لكل أعداد الكم الثلاثة.  
والطاقة للذررة، على أي حال، والتي تعطى بواسطة المعادلة (26) تعتمد فقط على القيمة ( $n$ )  
ولكن مع نفس القيمة للحد ( $n$ )، تصبح إذا متولدة :-

لأجل قيمة محددة ( $n$ )، المعادلة (28) ترينا أنه يوجد للحد ( $n$ ) قيم مختلفة ممكنة  
للحد ( $\ell$ ) والمعادلة (29) ترينا أنه يوجد ( $2\ell+1$ ) قيم مختلفة للحد ( $m$ ). والمجموع الكلى  
للحالات بنفس الطاقة إذا تعطى بالعلاقة :

$$\sum_{\ell=0}^{n-1} (2\ell + 1) = 1 + 3 + 5 \dots + (2n - 1) = \frac{(1 + 2n - 1)n}{2} = n^2 \quad - 30$$

إذا يوجد ( $n^2$ ) - تلاشى مضاعف لذررة الأيدروجين.

فمن المهم لنقدر أن هذا التلاشى الناتج من الحقيقة أن طاقة الوضع للإلكترون  
سوف يعطى بواسطة التفاعل الداخلى الكولومبى Colombic interaction للإلكترون  
الأحادي مع النواه كما هو محدد المعادلة (1). وفي الذرة عديدة الإلكترون حيث يوجد تفاعل  
بين الإلكترونات بالإضافة إلى التفاعل بين النواه - الإلكترون، فالطاقة للذررة إذا سوف تعتمد  
على كل من ( $n$ ), ( $\ell$ ). وفي هذه الحالة توجد قيم مختلفة للحد ( $\ell$ ) سوف تؤدي إلى طاقات  
مختلفة. عدد الكم المغناطيسي ( $m$ ) يمكن، على أي حال، مازال يأخذ ( $2\ell+1$ ) قيم مختلفة  
للقيم المعاشه للحد ( $\ell$ ) ولهذا على نحو تحت هذه الظروف سوف يوجد ( $2\ell+1$ ) تلاشى  
مضاعف. في وجود فقط للمجال المغناطيسي لأن هذا التلاشى المتبقى سيزال، وحالات بقيم  
مختلفة للحد ( $m$ ) تأخذ قيم مختلفة.

ولنا أن نبين أن تأثير المجال الكهربى يعتبر مختلف بسيط. ففي المجال المغناطيسي  
فإن طاقة الذرة تعتمد على قيم الحد ( $m$ ) ، ولكن في المجال الكهربى يعتمد على النموذج للحد  
للحالات  $m=1$  ،  $m=-1$  ، كمثال سيستمر التلاشى.

## The angular momentum of the electron      العزم الزاوي للإلكترون

في الفصل السابق، لقد رأينا أن عدد الكم الأساسى principle quantum number يحدد الطاقة لذررة الأيدروجين المعزولة، وأن عدد الكم الثانوى azimuthal quantum number سوف تعطى بعض الإسهامات لإيجاد الطاقة للذرات عديدة الإلكترونات. وعدد الكم

الثقوى يكون علاوة على ذلك مصاحب مع العزم الزاوي للإلكترون كما أن أيضا تكون عدد الكم المقاطيسي.

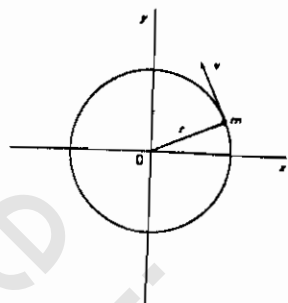


Fig. (1): Angular momentum

و قبل اعتبار العزم الزاوي لنظام الكم المقاطيسي مثل ذرة الأيدروجين التي سوف تستخدم لاعتبار العزم الزاوي التقليدي. والعزم الزاوي للجسم حول نقطة سوف يعين مثلا العزم الخطى مضروبا بالمسافة العمودية للنقطة من الخط من عند نقطة تحرك الجسم. ولنفترض أن جسم له كتلة ( $m$ ) يرتحل في دائرة ذات نصف قطر ( $r$ ) في المستوى ( $xy$ ), والمركز للدائرة تعتبر أصل محاور النظام .

هذا الوضع قد يمثل في الشكل (1). فلو السرعة الخطية للجسم هي ( $v$ ), وعليه فإن العزم الخطى سوف يكون هو ( $mv$ ). والإتجاه المستمر للارتفاع عبرة أيضا عن مسار الدائرة، والأصل يكون مساويا لنصف القطر للدائرة ( $r$ ) والقيمة للعزم الزاوي لهذا الجسم تكون إذا ( $mvr$ ) والإتجاه المعاكس (عكس إتجاه عقارب الساعة) حول الأصل ستؤخذ بالموجب ولهذا فإن السرعة للجسم ستتمثل في الشكل (1)، بقيمة موجبة ومن هنا العزم الزاوي سوف يكون موجب.

والعزم الزاوي حول نقطة الأصل، فربما تمثل بالمنتجه العمودي على مستوى الحركة من خلال الأصل. قاتون حركة اليد اليمنى للف ستطيق لهذا التمثال، لهذا الوضع المبين في الشكل (1). فـ المنتجه العزم الزاوي سوف يقف عاليا من السطح للمخطط على طول المحور ( $z$ ). ولو أن الجسم يكون العكس (من عقارب الساعة) فيكون الإتجاه أسلل المستوى وتكون بقيمة سلبية. هذا القصور كما هو مبين في الشكل (2).

والعزم الزاوي المبين في الشكلين (1, 2) يمكن الإشارة إليه بالرمز ( $L$ ) حيث ( $z$ ) تعرف بتركيبة العزم الزاوي. في هذا المثال المحدد. مكون ( $z$ ), في الحقيقة، متساوية لمجموع العزم الزاوي ، لأن الجسم قد يفترض للحركة فقط في المستوى  $xy$ .

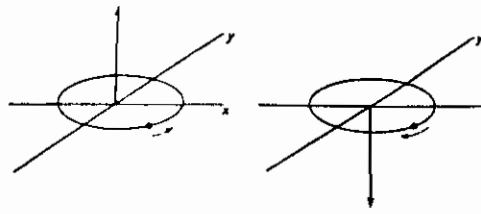


Fig. (2): Vector representation of angular momentum

فالحركة في مستوى (xy) والتي ليست من الضروري دائرية، المكون (z) للعزم الزاوي يمكن التعبير بشقوق كمية التحرك الخطية للجزء الموازي للمحور x, y. هذه النقطة قد تفهم بواسطة الشكل (3).

السرعة ( $v$ ) لحركة الجسم في المستوى (xy) يمكن تحليله إلى المكون ( $v_y$ ) موازياً للمحور (y)، المكون ( $v_z$ ) موازياً للمحور (x) والعزم الخطى لهذين المتجهين سياخذان القيم ( $mv_x$ ), ( $mv_y$ ) والتي سوف نرمز لها بالرموز  $P_x$ ,  $P_y$  على التوالي :-

والعزم الزاوي حول نقطة الأصل الناشئة عن  $P_y$  سنحصل عليها بضرب ( $P_y$ ) بالمسافة العمودية من الأصل إلى خط السرعة ( $v_y$ ) المكون، والتي يمكن أن نراها من الشكل (3) أن هذه المسافة تكون مساوية للمحور (x) للجسم. مثلاً ( $v_y$ ) عبارة عن الإتجاه المعاكس لعقارب الساعة حول نقطة الأصل، فنتائج العزم الزاوي يكون موجب ويكون مساوياً للحد ( $xP_y$ ). والعزم الزاوي حول نقطة الأصل الناشئ عن  $P_x$  نحصل عليه بالمثل ونفس الطريقة كما في ( $v_z$ ) لإتجاه عقارب الساعة. ويكون الناتج بالسالب كما يلى  $-yP_x$ . والمجموع الكلي للعزم مساوياً لمجموع العزمين لفرعى التحرك المحسوبة بعالية ومن هنا :-

$$L_z = xP_y - yP_x \quad - 31$$

ولو أن الجسم يتحرك في الثلاث محاور غير المستوى (xy) فقط، سوف يوجد مكونين للعزم الزاوي على المحور (x) والمحور y ، وسوف يعطيان بالعلاقات الآتية :-

$$L_x = yP_z - zP_y \quad - 32$$

$$L_y = zP_x - xP_z \quad - 33$$

ومجموع العزم الكلي ( $L$ ) يعتبر متعلق للمحور ( $z, y, x$ ) بالعلاقة :

$$L^2 = L_x^2 + L_y^2 + L_z^2 \quad - 34$$

ولإيجاد العزم الزاوي لكمي الميكانيكي للنظام، دالة الموجة يمكن أن تعمل على معامل العزم الزاوي المناسب. ويجب أن نذكر أن معامل الكم الميكانيكي يبني بكتابه فيما بعد التعبير

الكلاسيكي (التقليدي) لأجل الشق المهم الملاحظ لمحاور العزم الزاوي (كمية التحرك)، ثم بعد ذلك نستبدل كل أجزاء العزم بواسطة معامل العزم الزاوي وهو  $(\partial/\partial q)(h/2\pi i)$ . ولنفترض أن  $(z)$  مكون للعزم الزاوي، فالتعبير التقليدي في الشفوق للمحاور والعزم سيعطى بالمعادلة (31). لبناء المكون  $(z)$  لمعامل العزم الزاوي، نرمز بالرمز  $(\ell_z)$  فالشقيقين  $(P_x, P_y)$  في المعادلة (31) سوف يستبدلان من معامل العزم عندما :-

$$\ell_z = \frac{h}{2\pi i} \left( x \frac{\partial}{\partial y} - y \frac{\partial}{\partial x} \right) \quad - 35$$

فالمعامل بالنسبة  $(x, y)$  للعزم الزاوي  $\ell_x, \ell_y$  على الترتيب أيضاً بالمثل بواسطة :-

$$\ell_y = \frac{h}{2\pi i} \left( z \frac{\partial}{\partial x} - x \frac{\partial}{\partial z} \right) \quad - 36$$

$$\ell_x = \frac{h}{2\pi i} \left( y \frac{\partial}{\partial z} - z \frac{\partial}{\partial y} \right) \quad - 37$$

علاوة على ذلك المعامل لمربع مجموع العزم الكلي  $\ell^2$ ، يمكن التعبير في معاملات المكونات

$$\ell^2 = \ell_x^2 + \ell_y^2 + \ell_z^2 \quad - 38$$

للعمل على دالة الموجة لذرة الأيدروجين، فالعمل يجب أن يحول إلى محاور قطبية دائرية وبالنسبة  $\ell_x, \ell_y$  فالنتائج هو :-

$$\ell_z^2 = \frac{h}{2\pi i} \frac{\partial}{\partial \phi} \quad - 39$$

$$\ell^2 = -\frac{h^2}{4\pi^2} \left[ \frac{1}{\sin \theta} \frac{\partial}{\partial \theta} \left( \sin \theta \frac{\partial}{\partial \theta} \right) + \frac{1}{\sin^2 \theta} \frac{\partial^2}{\partial \phi^2} \right] \quad - 40$$

والمعادلة (39) عبارة عن معامل وستستخدم لحساب العزم للجسم على الحلقة في الفصل الرابع، لأن الجسم يتحرك فقط في السطح  $xy$ . متذكرين أن  $(\psi)$  تعين بالمعادلة (5) كناتج للمعادلات  $R, T, F$ .

$$\psi = R T F$$

والعمل لـ  $\ell^2$  على  $\psi$  التي ربما تمثل :-

$$\ell^2 \psi = \text{equation (40)} \times RTF$$

$$\text{or} \quad \ell^2 \psi = -\frac{\hbar^2}{4\pi^2} \left[ \frac{RF}{\sin \theta} \frac{d}{d\theta} (\sin \theta \frac{dT}{d\theta}) + \frac{RT}{\sin^2 \theta} \frac{d^2 F}{d\phi^2} \right] \quad - 41$$

ومن المعادلة  $T$ ، المعادلة (13) والمعادلة (17)، فالشق الأول في القوس في المعادلة (41) ستعطى بالعلاقة

$$\frac{RF}{\sin \theta} \frac{d}{d\theta} (\sin \theta \frac{dT}{d\theta}) = -RF(\ell(\ell+1) - \frac{m^2}{\sin^2 \theta}) T \quad - 42$$

فمن المعادلة  $F$  المعادلة (12)، الشق الثاني في القوس في المعادلة (41) ستعطى بالمعادلة:

$$\frac{RT}{\sin^2 \theta} \frac{d^2 F}{d\phi^2} = -\frac{RTF m^2}{\sin^2 \theta} \quad - 43$$

بالم subsitituting من المعادلات 42, 45 إلى المعادلة 41: -

$$\begin{aligned} \ell^2 \psi &= -\frac{\hbar^2}{4\pi^2} \left[ RTF \left( -\ell(\ell+1) + \frac{m^2}{\sin^2 \theta} \right) - \frac{RTF m^2}{\sin^2 \theta} \right] \\ &= \frac{\hbar^2}{4\pi^2} \ell(\ell+1) RTF \end{aligned}$$

or

$$\ell^2 \psi = \frac{\hbar^2}{4\pi^2} \ell(\ell+1) \psi$$

فالناتج للعملية تعطى عدد حقيقي مضروب بدالة الموجة الأصلية، ولهذا فالعدد الحقيقي يكون مساوياً لمربع مجموع العزم الزاوي، ثم: -

$$L^2 = \frac{\hbar^2}{4\pi^2} \ell(\ell+1)$$

or

$$L = \sqrt{\ell(\ell+1)} \frac{\hbar}{4\pi} \quad - 44$$

من هذه نرى أن عدد الكم الثانوي تعين مجموع العزم الزاوي مضروباً بالحد  $(h/2\pi)$ .

العمل للحد  $(\ell_2)$  على  $\psi$  يمكن التمثيل بواسطة: -

$$\ell_2 \psi = \frac{\hbar}{4\pi i} \cdot \frac{\partial}{\partial \phi} (RTF)$$

or

$$\ell_z \psi = \frac{\hbar}{2\pi i} \cdot RT \frac{dF}{d\phi} \quad - 45$$

الدالة ( $F$ ) سنعطي بالمعادلة (15) مثلاً :-

$$F = \frac{1}{\sqrt{2\pi}} e^{im\phi}$$

ولهذا فالمعادلة (45) تصبح :-

$$\begin{aligned} \ell_z \psi &= \frac{\hbar}{2\pi i} RT \cdot \frac{1}{\sqrt{2\pi}} \frac{d}{d\phi} (e^{im\phi}) \\ &= \frac{\hbar}{2\pi i} RT \frac{im}{\sqrt{(2\pi)}} (e^{im\phi}) \\ &= \frac{mh}{2\pi} RT F \end{aligned}$$

or

$$\ell_z \psi = \frac{mh}{2\pi} \psi$$

مرة أخرى فالعملية تمكّن إنتاج عدد حقيقي مضروبة بدالة الموجة الأصلية ولهذا.

$$\ell_z = m \frac{\hbar}{2\pi} \quad - 46$$

من هنا نرى أن عدد الكم المفاطيسي يعين المكون ( $z$ ) للعزم الزاوي في التكامل المضروب للمقدار  $\hbar/2\pi$ .

فلو  $\ell_z$ ،  $\ell_y$  تعمل على دالة الموجة، فالنتائج سيكون ليس بعدد حقيقي مضروباً بدالة الموجة الأصلية ولهذا  $\ell_z$ ،  $\ell_y$  ليست كمياتها واضحة.

لأجل قيمة محددة للحد ( $\ell$ )، أعلى قيمة للحد ( $m$ )، سوف يعين بواسطة  $m = \ell$ ، ولهذا فإن أعلى قيمة للحد  $\ell_z$  هو  $(th/2\pi)$ . هذا قد يكون أقل من  $(h/(2\pi)\sqrt{\ell(\ell+1)})$ ، ولهذا المكون ( $z$ ) للعزم الزاوي يجب أن يكون أقل من مجموع العزم الزاوي. هذا التتابع لمبدأ عدم التأكيد (uncertainty-principle). فلو  $L_z$  تكون مساوية لمجموع القيمة للحد  $L$ ، بعد ذلك كل من  $L_x$ ،  $L_y$  سوف تأخذ قيمة صفر. في هذه الحالة كلاماً من المقدار للعزم الزاوي والإتجاه

للمحاور حول الحركة التي تحدث ستكون معلومة التحديد. علاوة على ذلك، فلو كانت  $L_z$  متساوية للحد ( $L$ ). سوف يحصر للحركة في سطح ( $xy$ ), ولهذا سوف يكون مدار عبارة عن مسطح. فثُمَّا  $L_z$  يجب أن تكون أقل من ( $L$ ). المدار السطحي لا يسمح أو لا يجوز في وصف ميكانيكا الكم لذرة الأيدروجين.

طريقة أخرى تشرح هذه الحقيقة، لنعتبر أن العزم الخطى يكون بصفر في اتجاه ( $z$ ),  $P_z$ , للجزء المحدد للمسطح ( $xy$ ). بالإضافة، القيمة للمحور  $z$  والخاصة بالجزء يجب أيضاً أن تكون بصفر. الشك في المحور  $z$  هو ( $\Delta z$ ) أو عدم التأكيد في المحور ( $z$ ) هو ( $\Delta z$ ), وعدم التأكيد في العزم الخطى في المحور ( $z$ ) هو ( $\Delta P_z$ )، أيضاً كلاهما بصفر: ومن ثم، حاصل ضرب  $\Delta z \cdot \Delta P_z = 0$  حيث يعتبر هذا هو مبدأ عدم التأكيد.

في المعادلين (44)، (46)، لربما نفهم أنه ليس فقط يكون مجموع العزم الزاوي محدود للقيم المعينة بواسطة المعادلات السابقة الذكر، ولكن التوجيه سيخصص للأخذ في اعتبار محدد. المحور ( $z$ ) يجب أن يكون صحيح مضروباً في المقدار ( $(h/2\pi)$ ).

هذا التوجيه المحدود في بعض الأحيان يعرف بالفترة المكممه. مثل هذا يمكن تفسيره، بمثال بالمرجع للوضع حيث  $=1$ . لمثل هذا المثال

$$L = \sqrt{2} \frac{h}{2\pi}$$

$$L_z = \frac{h}{2\pi}, 0, -\frac{h}{2\pi}$$

$$\text{بعد ذلك } m = +1, 0, -1 \text{ for}$$

وطول مجموع متجه العزم الزاوي سيكون إذاً مساوياً للحد ( $(h/2\pi)\sqrt{2}$ ) بالنسبة  $L_z=0$ ، المتجه  $L$  يجب وقوعه في المسطح المخروطي (Conical surface)، وال نقطة أعلى في الاتجاه الموجب، وأما بالنسبة ( $L_z=-h/2\pi$ ). حيث المتجه ( $L$ ) يجب أن يقع في المسطح المخروطي. والنقطة لأسفل في الاتجاه ( $z$ ) السالب، هذا يمكن شرحه في الشكل (4a) بتمثيل الثلاث محاور، وفي الشكل (4b) حيث الأشكال الممثلة قد رسمت في محورين فقط لنرى كيف للأطوال المتجهة ( $L_z$ ،  $L$ ) تعين الزاوية للقمع في حالة وقوع المتجه ( $L$ ). والمتجه ( $L$ ) يجب أن يكون حر للحركة في المسطح المخروطي، لأن لو أن اتجاهه كان ثابتاً فيكون المضمون هو أن الإلكترون يتحرك في مدار مسطح.

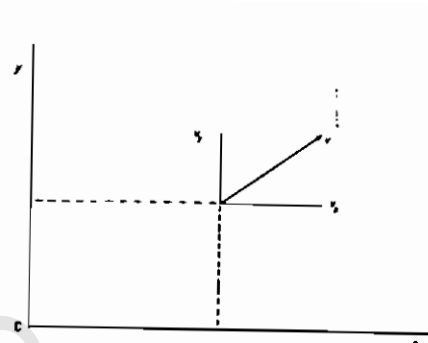


Fig. (3): Angular momentum in terms of linear momentum

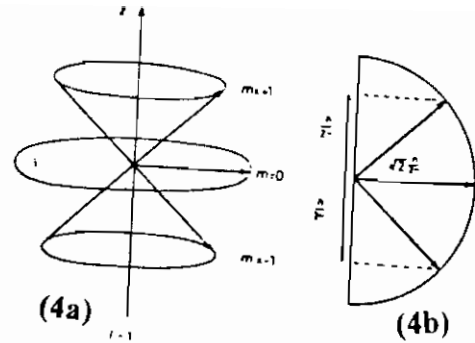


Fig. (4): Surface quantization

ومن الواجب ان نلاحظ بمرور هذا، فالاختيار للمحور (z) مثلاً المحور المكم الذي يعتبر محدد تماماً واساساً من الطريق المحدد لتلك المحاور القطبية الدائرية، والتي تكون متعلقة بالمحاور الكارتيزيانية .Cartesian coordinate

### The hydrogen wave function

### الدالة الموجية للأيدروجين :

الدالة الموجية الكلية ( $r, \theta, \varphi$ )  $\psi$  عبارة عن ناتج لكل من الدوال (R, T, and F) كما هو مبين بالمعادلة (4). وتعتمد الدالة الموجية الكلية على كل أعداد الكم الثلاثة، الدالة (R) تعتمد على (n)، وتعتمد الدالة (T) على ( $\ell$ ), وكذلك الدالة (F) تعتمد على (m). هذا العرض ما ينكره كثيراً اختصار بواسطته:

$$\psi_{n, \ell, m}(r, \theta, \varphi) = R_{n, \ell}(r) \cdot T_{\ell, m}(\theta) \cdot F_m(\varphi) \quad - 47$$

الدالة ايجن لذرة الأيدروجين تعرف بالمدارات، وتسمى طبقاً لقيم ( $n, \ell$ ). القيمة العددية (n) تكون تابعة بواسطة الرموز المبينة القيمة للزمر ( $\ell$ ) طبقاً لما يلى:

$$\ell = 0, 1, 2, 3, 4$$

$$S \quad p \quad d \quad f \quad d$$

ومن ثم من المفروض تعين القيمة (m) ربما تنجز هذه بواسطة إضافة دليل إلى تدوين المدار. مثال : المدار، حيث  $n=1, \ell=1, m=-1, 0, 1$ ، ربما تدون بالشكل 2p-1. إضافة،

دالة الموجة ربما تحدد بواسطة قيمة لكل من ( $\ell, m$ ) في الأقواس. إذا الدالة الموجية للمدار  $ls$  تكتب  $(l, 0)$ ، وبالنسبة للمدار  $(d, 3, 2)$ .

والمعنى للمدارات الابدروجينية غالبا اعتبارها بواسطة أحد الدالل النصف قطرية على انتقال  $R$ . دالة العزم  $TF$ . الدالة الزاوية قد تمثل بواسطة الرمز الوحيد  $(Y)$ . ولهذا.

$$T_{l,m}(\theta) \cdot F_m(\varphi) = Y_{l,m}(\ell, \varphi)$$

$$\Psi_{n,l,m}(r, \theta, \varphi) = R_{n,l}(r) \cdot Y(\theta, \varphi) \quad - 48$$

### The radial function

### دالة النصف قطرية

فمن الواجب ان نؤكد مرة أخرى ان الدوال النصف قطرية نفسها لا تأخذ اهمية فيزيائية. الكمية  $RR^*$  يمكن، على أي حال، استخدامها لحساب احتمالية وجود الالكترون في مكان محدد. في اي اتجاه، من النواه. بعد ذلك الدوال النصف قطرية لا تحتوى على اعداد معقدة مثل ما هو نفس في  $R^2$ ، والقيمة المهمة هي  $R^2 dV$  وهي التي تكون فيه الاحتمالية لوجود الالكترون في الحجم  $(dV)$  في اي اتجاه من النواه. لانه من القول. هذه الاحتمالية هي لايجاد الالكترون داخل الغلاف الكروي للحجم  $(dV)$  مع النواه عند مركز الغلاف.

الحجم للغلاف الكروي له نصف قطر  $(r)$  وسمك  $(dr)$  هو  $4\pi r^2 dr$  ولهذا فإن احتمالية لايجد الالكترون بين  $(r)$  و  $(r + dr)$  من النواه هو  $4\pi r^2 R^2 dr$ . وعادة هذه الاحتمالية تمثل بذلك برسم  $4\pi r^2 R^2$  مقابل  $(r)$  والتي تعطى رفعه الى التوزيعات المحتملة النصف قطرية الشائعة.

### The angular function

### دالة الزاوية

جزء الزاوية لدالة الموجة تعتبر مهمة لتكوين الرابط الكيميائي والتي تعتمد على التداخل المناسب للمدارات للذرات الانفرادية المكونة للرباط. ويدخل التداخل في دالة الموجة تكلية. ولكن من غير المناسب حدوث التداخل سوف يعتمد على الشكل للمدارات والتي تعتبر محكومة بواسطة الدالة الزاوية، والتي في بعض الأحيان معلومة مثل التوافقية

الكرية. فبالنسبة للمدارات (s) حيث  $s=0$  فالدالة الزاوية تكون  $Y_{0,0}$  وسوف تعطى بواسطة:-

$$Y_{0,0} = \frac{1}{2\sqrt{\pi}} \quad - 49$$

هذه الدالة تعتبر دائيرية متتماثلة :-

وبالنسبة للمدارات  $m = \pm 1, \pm 0, \pm 1$  ، إذا يوجد ثلث دوال زاوية تقابل الثلث قيم للحد (m). وهي :-

$$Y_{1,0} = \frac{\sqrt{3}}{2\sqrt{\pi}} \cos \theta \quad - 50$$

$$Y_{1,+1} = \frac{\sqrt{3}}{2\sqrt{(2\pi)}} \sin \theta \cdot e^{i\phi} \quad - 51$$

$$Y_{1,-1} = \frac{\sqrt{3}}{2\sqrt{(2\pi)}} \sin \theta \cdot e^{-i\phi} \quad - 52$$

فمثلاً  $Y_{1,0}$  تكون دالة حقيقة فإنه يمكن رسمها وتمثلها بواسطة المخطط ويمكن لهذه أن تتم في أكثر من طريقة. طريقة واحد كمثال، سوف نرسم دالة جيب التمام الزاوية (جتا) مع الإحداثيات المحاور السينية (x). المثلثة في  $Y_{1,0}$ ، والمحور السيني المعنى للحد ( $\theta$ ). هذه الطريقة ستكون ببساطة ستولد منحنى عادي لجيب التمام بين  $0 \leq \theta \leq 2\pi$ . والسعنة للمنحنى تصبح  $(\sqrt{3}/\pi)/2$ .

وأكثر الطرق المستخدمة الممثلة للدالة الزاوية هي بواسطة الرسم القطبي كما هو مبين في الشكل (5). فبالنسبة لقيمة محددة للحد ( $\theta$ ) فطول الخط  $\cos \theta$   $(\sqrt{3}/\pi)/2$  سترسم من الأصل، ولهذا استعمل زاوية  $\theta$  مع المحور (z). مثلاً  $Y_{1,0}$  تكون مستقلة عن z. هذا الخط ربما يأخذ أي اتجاه مع الإحتفاظ بالمحور السيني، وهي تتولد دائرة، مستوى الدائرة تصبح موازية للمستوى (xy). بتغيير ( $\theta$ ) من (0) إلى  $(2\pi)$  سوف تولد أسطع لكرين مع مركز لهما يقع على المحور (z). كما هو مبين في الشكل (5) فمن المهم أن نتحقق أن هذا الرسم لا يأخذ مفهوم فيزيائي. هذا فحسب طريقة تبين الدالة الموجية  $Y_{1,0}$  بالرسم التخطيطي.

على الرغم هذه الرسومات للدوال الزاوية تعتبر كلها مصادفة شأنعة يمكن كلها غير مفهومة، لو أنها غير مهم تصحيحها. وهذه الصعوبة ربما النتطلب عليها بواسطة طريقة بسيطة أو غير مرئية من التمثيل.

فمن منظر تكوين الرابط الكيميائي، فالاعتبار المهم هو مدى تداخل مدارين ذريين لذرتين والتي ترتبط معاً.

فلو  $Y_{1,0}$  اتخذت، فالمعادلة 50، تبين أنها تأخذ قيمة عظمى عندما جتا  $\theta$  تكون عظمى، بمعنى، عندما  $\theta = 0$ . بالرجوع إلى المعادلة (1) في الفصل السابع، التي تشرح العلاقة بين المحاور الكارتيزية والإحداثيات القطبية، وتبين أن الاتجاه المقابل للزاوية  $\theta = 0$  تقع على طول المحور (z). الدالة  $Y_{1,0}$  فربما يمكن تمثيلها بواسطة سهم مرسوم على طول المحور (z)، مثلما هو في الشكل (6). ومن المهم أن نلاحظ أن القيم الكلية للدالة تكون موجبة فوق السطح (xy) وبقيمة سالبة أسفل السطح المذكور.

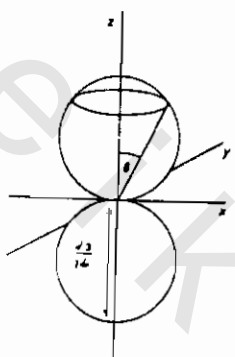


Fig. (5): Polar diagram of the  $Y_{1,0}$  function

هذه العلاقة ناتجة من القيم لجتا الزاوية في هذه المناطق وهذه غير متناسبة تكون مهمة في إيجاد القيم للمدارات الحادثة أعلى في الرابط الكيميائي.

الدوال  $Y_{1,+}$ ،  $Y_{1,-}$  لا تستطيع تمثيلها بواسطة التخطيط، لأنهما معقدة بعض الشيء وتحتوى جزء تخيلي. والجزء التخيلي ناتج عن معادلة (F) والتي درست سابقاً في الفصل السابع وخاصة بالجسم على الحلقة. وقد لاحظنا سابقاً في نهاية هذا الفصل أنها تكون صفة لتلاثى دوال الموجة وأن أي تركيبة خطية للأطراف للمجموعة المتلاشية التي تعتبر أيضاً دالة إيجن (دالة ذاتية) لنفس الطاقة مثلاً دالة الموجة الأصلية.

فمتى تكون متلاشية، التركيبية الخطية لها سوف يكونان دالة إيجن، وهذه التركيبة الخطية ستكون تماماً مثلاً ما كان في المعادلة (21)، (23) في الفصل السابع المتولدة في الفصل السابع إذا.

$$\begin{aligned}
 \frac{1}{\sqrt{2}} (Y_{1,+1} + Y_{1,-1}) &= \frac{1}{\sqrt{2}} \frac{\sqrt{3}}{2\sqrt{(2\pi)}} \sin \theta (e^{i\phi} + e^{-i\phi}) \\
 &= \frac{\sqrt{3}}{2\sqrt{(2\pi)}} \sin \theta \cos \phi
 \end{aligned} \tag{53}$$

وأ

$$\begin{aligned}
 \frac{1}{i\sqrt{2}} (Y_{1,+1} - Y_{1,-1}) &= \frac{1}{i\sqrt{2}} \frac{\sqrt{3}}{2\sqrt{(2\pi)}} \sin \theta (e^{i\phi} - e^{-i\phi}) \\
 &= \frac{\sqrt{3}}{2\sqrt{\pi}} \sin \theta \cos \phi
 \end{aligned} \tag{54}$$

والاتجاه للقيم العظمى للدوال فى المعادلة (54)، المعادلة (53) والتى يمكن تمثيلها تخطيطاً بواسطة نفس الطريق مثلاً قد طبقت للدالة  $Y_{1,0}$ . إذا المعادلة (53) تأخذ قيمة عظمى عندما جا  $\theta$  جتا  $\phi$  تكون عظمى، بمعنى أن عندما  $\theta = \Pi/2, \phi = 0$ . هذا الاتجاه يقع على طور المحور  $X$ . بالمثل، القيمة العظمى فى المعادلة (54) تحدث عندما جا  $\theta$  جتا  $\phi$  تعتبر عظمى، عندما  $\theta = \Pi/2, \phi = \Pi/2$ ، وهذا الاتجاه يقع على طول المحور  $(y)$ .

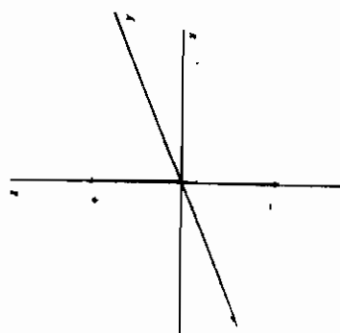


Fig. (6): Directional properties of the  $Y_{1,0}$  function

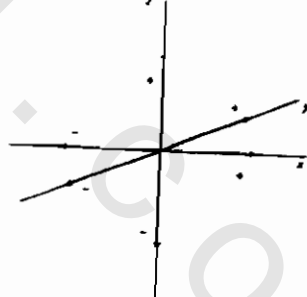


Fig. (7): Directional properties of the p-orbital.

الدوال المعددة  $Y_{1,+1}$  ،  $Y_{1,-1}$  يمكن برتبطاً لينتجها دالتين حقيقيتين في كثير لنفس الطريق مثلما الإزاحة التخيلية المترتبة إلى الإزاحة الحقيقة في دراسة في الفصل الثاني عن الحركة التوافقية البسيطة.

القيم العظمى للدوال المبينة بالمعادلات 50، 53، 54 ممكن تمثيلها على أحد الرسم البياني كما هو مبين في الشكل (7). فمن هذا ربما نرى أن الاتجاهات لقيم العظمى للدوال الزاوية تكون متوجهة بالتبادل زوايا حادة.

الحقيقة أن القيم العظمى للدوال الزاوية تقع في الاتجاهات ( $x, y, z$ ) ناتجة من الحقيقة أن الزاوية تعتمد للدوال المعطاة في المعادلات 50، 53، 54 و تكون بنفس الزاوية المعتمدة للمحاور  $z, y, x$  على التوالي. هذه يمكن أن نراها من العلاقة بين المحاور الكارتيزية والمحاور القطبية الدائرية والتي تعطى في الفصل السابع بواسطة

$$\begin{aligned} x &= r \sin \theta \cos \phi \\ y &= r \sin \theta \sin \phi \\ z &= r \cos \theta \end{aligned} \quad - 55$$

المدارات ( $P$ ) للمعادلات (50)، (53)، (54) تعطى الزاوية التبعية، والتي الملقبة بالرموز ( $P_x, P_y$  and  $P_z$ ) على التوالي. متذكرين أن مجموع الدالة الموجبة تحتوى الدالة النصف قطرية، والثلاث مدارات  $P$  يمكن التعبير عنها كما يلى :-

$$P_x = \frac{1}{\sqrt{2}} (Y_{1,+1} + Y_{1,-1}) R_{2,1} \quad - 56$$

$$P_y = \frac{1}{i\sqrt{2}} (Y_{1,+1} - Y_{1,-1}) R_{2,1} \quad - 57$$

$$P_z = Y_{1,0} \cdot R_{2,1} \quad - 58$$

بالنظر إلى، نجد أنه بينما  $m=0$  بالنسبة للمدار  $P_z$ ، فالمدارات  $P_x, P_y$  كل منها هيئه  $.m=-1, m=+1$ .

علاوة لهذه النقطة من الممكن اعتبار الدوال الإحتمالية الزاوية للمدار  $P$  هذه الدالة بالنسبة دالة الموجة  $Y_{1,0}$  تعطى بواسطة  $Y_{1,0} \cdot Y^0$  مثل  $Y_{1,0}$  الدالة الحقيقة،  $Y^0$  تغير هي الدالة  $Y_{1,0}$ ، الدالة الزاوية المحتملة يكون الحصول عليها من المعادلة (50) مثل:

$$Y^2_{1,0} = \frac{3}{4\pi} \cos^2 \theta \quad - 59$$

فالدواں  $Y_{1,+1}$ ،  $Y_{1,-1}$  عبارة عن دالات معقدة لأنها تحتوى على جزء تخيلى.  
والدلالات المحتملة حقيقية، على أى حال وسوف نحصل عليها من المعادلة (52، 51) كما  
يلى:-

$$(Y_{1,+1} \cdot Y^*_{1,+1}) = \frac{\sqrt{3}}{2\sqrt{(2\pi)}} \sin \theta \cdot e^{i\phi} \left( \frac{\sqrt{3}}{2\sqrt{(2\pi)}} \sin \theta \cdot e^{-i\phi} \right)$$

$$= \frac{3}{8\pi} \sin^2 \theta \quad - 60$$

بالمثل

$$(Y_{1,-1} \cdot Y^0_{1,-1}) = \frac{3}{8\pi} \sin^2 \theta \quad - 61$$

ومن الواجب أن نلاحظ أن الدوال المحتملة المعطاه بواسطة المعادلات 59، 60، 61 كلها مستقلة للزاوية ( $\phi$ ) وكلها متماثلة حول المحور (z). علامة على ذلك الدوال المقابلة للمحور  $m=+1$ ،  $m=-1$  تعتبر متماثلة. المطابق السابق لحركة عكس عقرب الساعة للإلكترون حول المحور (z). والمطابق لحركة عقرب الساعة. مثل:

$$P_z = Y_{1,0} \cdot R_{2,1}$$

والدواں المحتملة الزاوية بالنسبة ( $P_z$ ) أو ( $Y_{1,0}$ ) تكون متماثلة. وفي حالة  $P_x$ ،  $P_y$  عبارة عن مخلوط لكل من  $Y_{1,+1}$ ،  $Y_{1,-1}$ ، على أى حال، الوضع يعترى على الأصح مختلف، وربما عند أول وهلة معروضة صعبة، معنا الدوال المحتملة الزاوية للمحور  $P_x$ ،  $R_y$ ،  $R_z$  مثل  $Y_x^2$ ،  $Y_y^2$  على التوالي. المعادلات 53، 54 تعطى: وأن تلك الدوال المحتملة بوضوح تختلف عن:

$$Y_x^2 = \frac{3}{4\pi} \sin^2 \theta \cos^2 \phi \quad - 62$$

وا

$$Y_y^2 = \frac{3}{4\pi} \sin^2 \theta \sin^2 \phi \quad - 63$$

تلك المعادلات 60، 61. فعندما نتذكرة أن  $P_y$ ،  $P_x$  عبارة عن مخلوط لكل من  $Y_{1,-1}$ ،  $Y_{1,+1}$ ، على أى حال، من الواضح أكثر عقلانية لمقارنة الدوال المحتملة الزاوية.

$$(Y_x^2 + Y_y^2) \text{ and } (Y_{1,+1} \cdot Y^0_{1,-1} + Y_{1,-1} \cdot Y^0_{1,+1})$$

هذه المجموعات ربما تشقق من المعادلات 62، 63 ومن المعادلات 60، 61 على التوالي:-

$$\begin{aligned}
 (Y_x^2 + Y_y^2) &= \frac{3}{4\pi} \sin^2 \theta \cos^2 \varphi + \frac{3}{4\pi} \sin^2 \theta \sin^2 \varphi \\
 &= \frac{3}{4\pi} \sin^2 \theta (\cos^2 \varphi + \sin^2 \theta) \\
 \text{أو } (Y_x^2 + Y_y^2) &= \frac{3}{4\pi} \sin^2 \theta \quad - 64
 \end{aligned}$$

$$\begin{aligned}
 (Y_{1,+1} \cdot Y'_{1,+1} + Y_{1,-1} \cdot Y'_{1,-1}) &= \frac{3}{8\pi} \sin^2 \theta + \frac{3}{8\pi} \sin^2 \theta \\
 &= \frac{3}{4\pi} \sin^2 \theta \quad - 65
 \end{aligned}$$

ومن الممكن أن نرى أن الدوال المحتملة الزاوية المشتقة من  $(Y_{1,+1})$  معاً  $(Y_{1,-1})$  وأيضاً  $P_x$  هي نفسها. بالإضافة إلى ذلك وأنها كلها متتماثلة حول المحور (z).

في هذا الإحتفاظ من المهم أن نلاحظ أن المركبات حيث الرباط  $\pi$  متكون، فعملية توزيع الإلكترونات في المدارات تعتبر إسطوانية متتماثلة حول محور الرباط. ففى التروجين كمثال. حيث الرباط ( $\sigma$ ) المتكون بواسطة تداخل محورى للمدار ( $P_z$ ) من كل ذرة من  $P_x$ ،  $P_y$  عند زاوية قاتمة لكل منها وأيضاً زاوية قاتمة للرباط ( $\sigma$ ). هم كذلك من الرباط ( $\pi$ ) وتوزيع الإلكترون في جزء الإلكترون عبارة عن تماثل إسطواني حول المحور التروجين - التروجين.

والنقطة والتي نحن الآن بصددها في المناقشة السابقة في علاقة الرباط ( $P$ ) يمكن تطبيقها أيضاً على المدارات ( $d$ ) وكذلك ( $2d$ )، مثل لذلك الدالة الزاوية بالنسبة  $m=0$  سوف تكون حقيقة.

$$Y_{2,0} = N (3 \cos^2 \theta - 1) \quad - 66$$

حيث ( $\bar{N}$ ) ثابت التعادل، مثلاً  $\cos^2 \theta$  عبارة عن مربع لزاوية المعتمدة لمحاور (2) (المعادلة 55) هذه المدارات نرمز  $dz^2$ . إذا

$$dz^2 = Y_{2,0}$$

المدارات بالنسبة  $2, \pm 1, \pm m= \pm 1$  تعطى بواسطة

$$Y_{2,1} \pm 1 = N \sin 2 \theta \cdot e^{\pm i\varphi}$$

$$Y_{21} \pm 2 = N \sin^2 \theta \cdot e^{\pm 2 i \phi}$$

- 67

حيث (N) أيضاً ثابت التعادل. هذه المدارات المقيدة سوف تحول إلى نوال حقيقة وذلك باخذ الإرتباط الخطى (الاتحاد الخطى) والدليل الكارتزيان والمشتق من نفس الاعتبارات مثلاً طبق على المدارات P. وهي :-

$$d_{xz} = \frac{1}{\sqrt{2}} (Y_{21+1} + Y_{21-1})$$

$$d_{yz} = \frac{1}{i\sqrt{2}} (Y_{21+1} - Y_{21-1})$$

- 68

$$d_{x^2-y^2} = \frac{1}{\sqrt{2}} (Y_{21+1} + Y_{21-1})$$

$$d_{yz} = \frac{1}{i\sqrt{2}} (Y_{21+2} - Y_{21-2})$$

ومن الواجب أن نلاحظ أنه بالنسبة للمدارات المتلاشية، أي ارتباط خطى يعتبر دالة مقبولة. ومن الضرورى، على أي حال، أن الأطراف لأى مجموعة متلاشية للمدارات تكون متعمدة كل على الآخر. إذا  $Y_{21,0}$  ،  $Y_{21+1}$  ،  $Y_{21-1}$  أيضاً تكون عمودية واحد على الآخر، (متعمدة). وتكون مقبولة لمجموعة من المدارات. وكذلك أيضاً المدارات المعطاة بالمعادلات (68) أيضاً كلها متعمدة وتعطى كذلك مجموعة لمدارات مقبولة. هذه إذا، على أي حال، ليست مقبولة لخلط مجموعة الأطراف من كل مجموعة، ومن ثم  $d_{xz}$  ،  $Y_{21+1}$  كمثال ليستا متعمدة.

### Electron spin

### الإلكترون المغزلي :

فى الفصل الأول، لقد أشرنا سابقاً أن عدد الكم الرابع يعتبر مطلوباً لتعيين حالة الإلكترون فى الذرة وهذا مطلوب نشاته من الملاحظات من أن عيد للخطوط الأسيكتروسکوبية والتى تعتبر مزدوجة، مكونة خطين أكثر التصافاً معاً. جوسميت، آلين Goudsmit & Uhlenbeck إفترحا أن الإلكترون له عزم زاوي فعلى وحقيقة حيث تسهم فى مجموع العزم الزاوي. هذا العزم الواضح غالباً ما يعرف بالمغزلى بالمثل مع الوضع التقليدى، حيث الجسم له حجم محدد يلف حول محوره وسوف يأخذ عزم زاوي محدد.

وعزل الإلكترون سوف يعامل بنفس ما يشبه للمدار العزم الزاوي. عدد الكم ( $s$ ) يعتبر مصاحب مع العزم الزاوي الكلى المغزلى، وعدد الكم  $m_s$  يكون مصاحباً مع مكون ( $z$ ) للمغزلى ( $s_z$ ). وعدد الكم ( $s$ ) ، ( $m_z$ ) عبارة عن مغزلى مشابه لكل من ( $m$ ،). إذا بالنسبة لمدار العزم الزاوي هناك توجد علاقات

$$L = \sqrt{[\ell(\ell+1)]} \frac{h}{2\pi}$$

$$L_s = m \frac{h}{2\pi}$$

وأيضاً بالمثل بالنسبة للعزم الزاوي المغزلى

$$S = \sqrt{[S(S+1)]} \frac{h}{2\pi} \quad - 69$$

$$S_z = m_s \frac{h}{2\pi} \quad - 70$$

لحساب بالنسبة للملاحظات المعملية، فعدد الكم ( $s$ ) سوف يحدد بقيمة وحيدة ( $\frac{1}{2}$ ) وعدد الكم  $m_s$  يمكن أن يأخذ القيم ( $-\frac{1}{2}$ ،  $\frac{1}{2}$ ). كما ذكر سابقاً في الفصل الأول سينشأ طبيعياً، ويستخدم لتعيين التماثيلية والغير متماثلة دالة الموجة. ديراك Dirac's فرب وذلك باستخدام اعتماد الزمن التام لمعادلة شرودنجر واعتبر الحركة للإلكترون من نقطة تشكل النسبية.